

# Магия эрмитовых уголков

## Игрушечный пример: случайный вектор

Представим себе, что в пространстве  $\mathbb{R}^\beta$  выбирается случайный гауссов вектор  $x = (x_1, \dots, x_\beta)$ :

$$\rho(x_1, \dots, x_\beta) \propto \exp\left(-\frac{1}{2}\|x\|^2\right)$$

На  $\mathbb{R}^\beta$  действует группа поворотов; её действием любой вектор переводится на луч положительную полуось  $Ox_1$ . Как устроено распределение там?

$$\rho_\beta(r) \propto r^{\beta-1} \exp\left(-\frac{1}{2}r^2\right).$$

- 1 Не все орбиты имеют одинаковый объём  $\Rightarrow$  множитель  $r^{\beta-1}$ .
- 2 Корректно определено даже при нецелом  $\beta$ .

## Игрушечный пример: предел при $\beta \rightarrow \infty$

$$\rho_\beta(r) \propto r^{\beta-1} \exp\left(-\frac{1}{2}r^2\right) = \exp(-\beta F_\beta(r)),$$

$$F_\beta(r) \rightarrow F(r) = -\log r + \frac{1}{2}r^2, \quad \beta \rightarrow \infty.$$

- 1 **Закон больших чисел**:  $r$  концентрируется вокруг  $r_0 = \operatorname{argmax} F = 1$
- 2 **Центральная предельная теорема**: отклонения  $r$  от  $r_0$  асимптотически нормальные:

$$F(r) \approx F(r_0) + \frac{1}{2}F''(r_0) \cdot (r - r_0)^2 = F(r_0) + (r - r_0)^2;$$

$$\sqrt{\beta}(r - r_0) \xrightarrow{d} \xi \sim \mathcal{N}\left(0, \frac{1}{2}\right), \quad \beta \rightarrow \infty.$$

# Случайные матрицы GOE/GUE: классические вопросы

Рассмотрим случайную симметричную/эрмитову матрицу размера  $N \times N$ :

$$M = \frac{A + A^*}{2}, \quad A = (a_{ij}), \quad \rho_{a_{i,j}}(x) \propto \exp\left(-\frac{1}{2}|x|^2\right)$$

На пространстве симметричных/эрмитовых матриц действует сопряжениями ортогональная/унитарная группа: любую матрицу можно сопрячь с диагональной. А как устроено распределение там — иными словами, как устроено распределение собственных значений?

## Случайные матрицы: ответ

$$\rho(\lambda_1, \dots, \lambda_N) \propto \prod_{i < j} |\lambda_i - \lambda_j|^\beta \cdot \exp\left(-\frac{1}{2} \sum_j |\lambda_j|^2\right),$$

где первый множитель отвечает за «объём орбиты», а  $\beta = 1, 2, 4$  соответствует вещественному числам, комплексному и кватернионному случаю.

Но ответ имеет смысл и при других  $\beta$ !

Наш случай:  $\beta \rightarrow \infty$ .

Предел  $\beta \rightarrow \infty$

$$\rho(\lambda_1, \dots, \lambda_N) \propto \prod_{i < j} |\lambda_i - \lambda_j|^\beta \cdot \exp\left(-\frac{1}{2} \sum_j |\lambda_j|^2\right),$$

$$\rho(\lambda_1, \dots, \lambda_N) \propto \prod_{i < j} |\lambda_i - \lambda_j|^\beta \cdot \exp\left(-\frac{\beta}{4} \sum_j |\lambda_j|^2\right)$$

Иными словами,

$$\rho(\lambda_1, \dots, \lambda_N) \propto \exp(-\beta F(\lambda)),$$

где

$$F(\lambda) = - \sum_{i < j} \log |\lambda_i - \lambda_j| + \frac{1}{4} \sum_j |\lambda_j|^2.$$

В пределе  $\beta \rightarrow \infty$ : единственная точка  $(x_1^N, \dots, x_N^N) = \operatorname{argmin} F$ .  
Это — корни **многочлена Эрмита**  $H_N(x)$ .

$\beta \gg 1$

При  $\beta \gg 1$  мы видим только окрестность минимума  $(x_1^N, \dots, x_N^N)$ . Рядом с ней  $F$  приближается квадратичным членом ряда Тейлора:

$$\exp(-\beta F(\lambda)) \propto \exp\left(-\beta \cdot \frac{1}{2} \sum_{i,j} \frac{\partial^2 F}{\partial \lambda_i \partial \lambda_j} \cdot (\lambda_i - x_i^N)(\lambda_j - x_j^N)\right)$$

Поэтому колебания  $\lambda = (\lambda_i)$  вокруг предельных значений  $(x_i^N)$  — гауссовские, порядка  $\frac{1}{\sqrt{\beta}}$ :

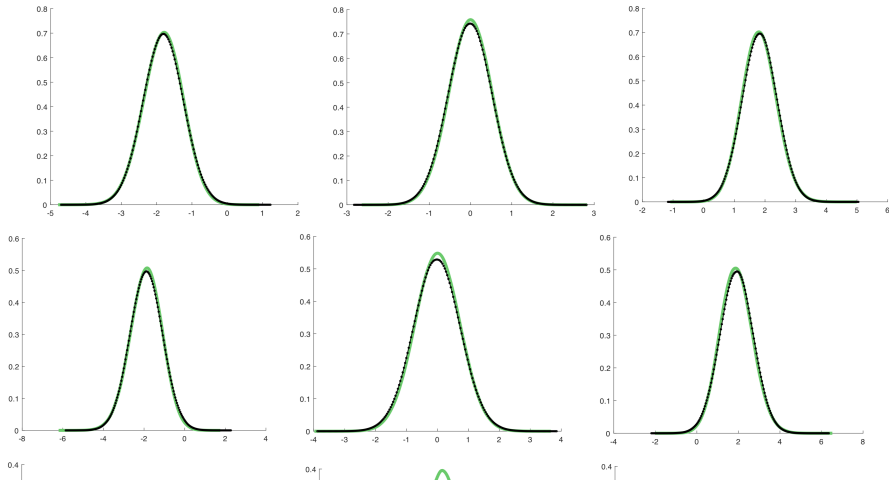
$$\sqrt{\beta}(\lambda_i - x_i^N) \xrightarrow[\beta \rightarrow \infty]{d} \xi_i.$$

Матрица вторых частных производных  $F$  — обратная к матрице ковариаций  $\xi$ .

## Графики плотности и приближение из $\beta = \infty$

Рассмотрим случайные величины « $i$ -е собственное значение случайной матрицы»,  $i = 1, \dots, N$ . Как устроены их плотности? Вот графики из компьютерных экспериментов для  $N = 3$ :

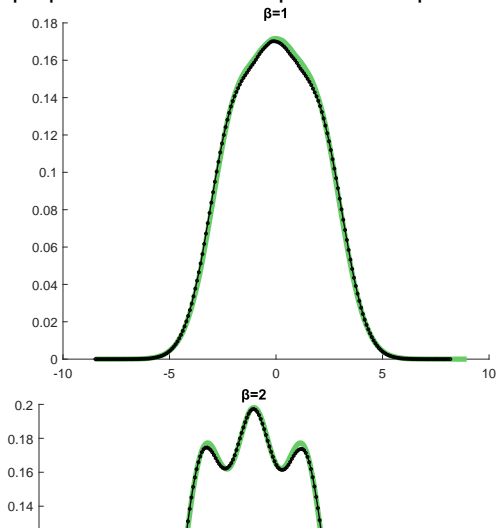
$\beta = 4$ :  $\beta = 2$ :  $\beta = 1$ :





## Графики плотности и приближение из $\beta = \infty$ , ч. 2

Рассмотрим случайную величину «случайно выбранное собственное значение случайной матрицы». Как устроена её плотность? Вот графики из компьютерных экспериментов для  $N = 3$ :



## Процесс углов

В эрмитовой матрице порядка  $N$  можно рассмотреть уголок размера  $N - 1$ ; его собственные значения **перемежаются** с собственными значениями исходной матрицы.

$$\left( \begin{array}{ccc|c} a_{11} & a_{12} & a_{13} & a_{14} \\ a_{21} & a_{22} & a_{23} & a_{24} \\ a_{31} & a_{32} & a_{33} & a_{34} \\ \hline a_{41} & a_{42} & a_{43} & a_{44} \end{array} \right)$$



## Один шаг спуска

Пусть собственные значения  $\lambda_1, \dots, \lambda_N$  зафиксированы. Рассмотрим «случайно повёрнутую» матрицу порядка  $N$  с этими собственными значениями и посмотрим на распределение собственных значений  $\mu_1, \dots, \mu_{N-1}$  её углака порядка  $N - 1$ .

### Теорема

$$\rho(\mu_1, \dots, \mu_{N-1}) \propto \prod_{i=1}^N \prod_{j=1}^{N-1} |\lambda_i - \mu_j|^{\frac{\beta}{2}-1} \cdot \prod_{1 \leq i < j \leq N-1} (\mu_j - \mu_i)$$

(Гельфанд–Наймарк, 50'е ; Барышников–Неретин, 00'е; Dixon, Anderson)

При любом фиксированном  $\beta$  формула выше позволяет задать марковский процесс (переходя от «уже известных» собственных значений порядка  $k$  к «новым» собственным значениям порядка  $k - 1$ ).

## Предел при $\beta \rightarrow \infty$

### Теорема (В. Горин, А. Marcus)

У «процесса уголков» есть нетривиальный (перенормированный) предел при  $\beta \rightarrow \infty$ .

$$\rho(\mu_1, \dots, \mu_{N-1}) = \exp(-\beta F_\beta(\lambda, \mu)),$$

$$F_\beta(\lambda, \mu) \rightarrow F(\lambda, \mu) = - \sum_{i,j} \log |\lambda_i - \mu_j|, \quad \beta \rightarrow \infty$$

- 1 Собственные значения  $\mu_j$  уголка асимптотически независимы **при условии** известных  $\lambda_i$ .
- 2 Они концентрируются в точках минимума  $\sum_i \log |\lambda_i - x|$ , т.е. в корнях производной характеристического многочлена  $P_\lambda(x)$ .
- 3 Они асимптотически гауссовские с колебаниями  $\sim \frac{1}{\sqrt{\beta}}$

# Постановка задачи

## Теорема (В. Горин, А. Marcus)

Предел

$$\xi_i^k := \lim_{\beta \rightarrow \infty} \sqrt{\beta}(\lambda_i^k - x_i^k),$$

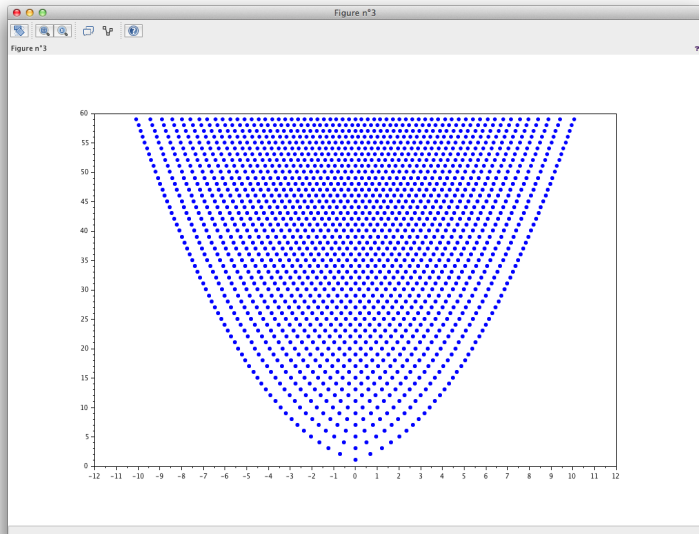
где  $x_i^k$  — корни многочлена  $P_k$  с  $P'_{k+1} = (k+1)P_k$ , существует и задаёт гауссовский марковский процесс. (+явная формула для всей совместной плотности)

## Вопрос

Что можно сказать о корнях–точках концентрации  $x_i^k$  и о процессе  $\xi_i^k$ ?

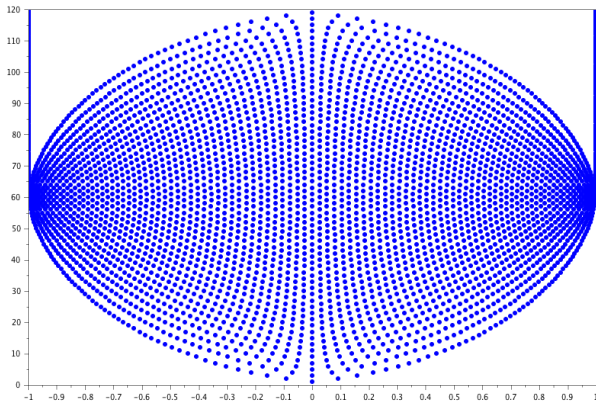
- 1 Если все  $P_k$  — многочлены Эрмита («гауссова» мера на  $\beta$ -матрицах)?
- 2 Если собственные значения  $x_1^N, \dots, x_N^N$  на уровне  $N$  детерминированы?

# Решётка корней многочленов Эрмита



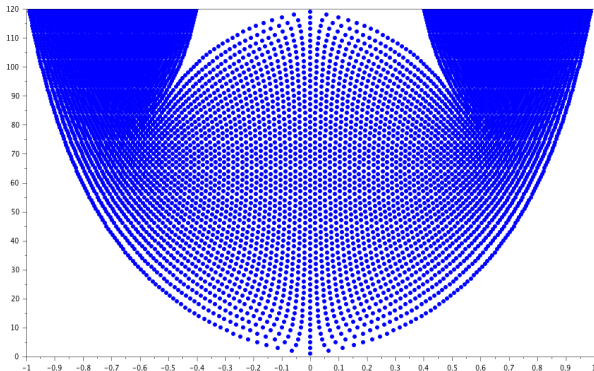
## Примеры для других «начальных условий»-1

Поведение корней производных многочлена  $(x^2 - 1)^M$ ,  $M = 60$ :



## Примеры для других «начальных условий»-2

$N = 2M = 120$  корней равномерно распределены на отрезках  $[-1, -0.4]$  и  $[0.4, 1]$ :





# Разные режимы

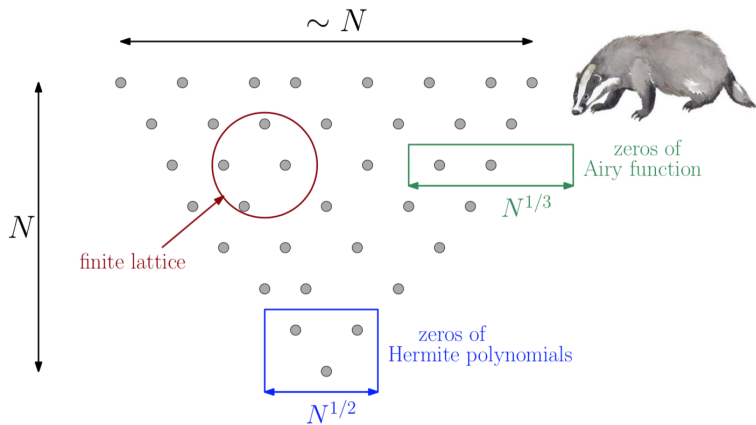


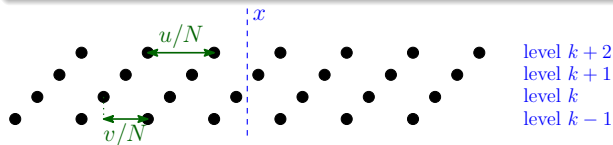
Image credit: V. Gorin

Ответ для  $x_j^k$

## Теорема (В. Горин, В.К.)

При достаточно разумных предположениях на начальные собственные значения  $x_1^N, \dots, x_N^N$ :

- 1 На фиксированном уровне  $k$ : корни полинома Эрмита  $H_k$   
([GK, Theorem 2.9])
- 2 В балке: «решётка» ([GK, Theorem 2.14]).
- 3 На границе: нули функции Эйри  $\text{Ai}(x)$   
([GK, Theorem 2.17])



Чуть-чуть доказательств: аналитическая часть.

## Поведение внизу: «лобовой» подход

$$P(x) = \prod_{j=1}^N (x - x_j) = x^N - \sigma_1(x_j)x^{N-1} + \sigma_2(x_j)x^{N-2} \pm \dots$$

$$\mu := \frac{1}{N} \sum_{j=1}^N \delta_{x_j}$$

$$p_1 = N \int x d\mu, \quad p_2 = N \int x^2 d\mu, \dots$$

$$\sigma_1 = p_1, \quad \sigma_2 = \frac{1}{2}(p_1^2 - p_2), \quad \sigma_3 = \frac{1}{3}(p_1 p_2 - p_2 \sigma_1 + p_3), \dots$$

$$\sigma_1 \sim N\bar{\mu}, \quad \sigma_2 \sim \frac{N^2}{2}\bar{\mu}^2, \quad \sigma_3 \sim \frac{N^3}{3!}\bar{\mu}^3, \dots$$

## Поведение внизу: «лобовой» подход-2

$$P_N(x) \sim x^N - N\bar{\mu}x^{N-1} + \frac{N^2}{2!}\bar{\mu}^2x^{N-2} - \frac{N^3}{3!}\bar{\mu}^3x^{N-3} \pm \dots$$

$$\begin{aligned} P_k(x) &= \frac{1}{N(N-1)\dots(k+1)} P^{(N-k)}(x) \rightarrow \\ &\rightarrow x^k - k\bar{\mu}x^{k-1} + \frac{k(k-1)}{2!}x^{k-2} - \frac{k(k-1)(k-2)}{3!}x^{k-3} \pm \dots \\ &= (x - \bar{\mu})^k \end{aligned}$$

Всё определяется  $p_1$  — и корни садятся в  $\bar{\mu}$ .

Если перенести  $\mathbb{E}\mu$  в ноль, то новым главным членом будет  $\sigma^2 = p_2$ , и он всё и определяет  $\Rightarrow$  универсальность.

## Поведение внизу: «аналитический» подход

Пусть  $\bar{\mu} = 0$ ,  $\sigma^2 = 1$ .

$$P_k(y) = \binom{N}{k}^{-1} \cdot \frac{1}{2\pi i} \oint_0 \frac{P_N(z+y)}{z^{N-k+1}} dz;$$

$$\frac{P_N(z+y)}{z} = \prod_{j=1}^N \left(1 + \frac{y}{z} - \frac{x_j}{z}\right)$$

Смотрим на поведение рядом с нулём (на масштабе  $\frac{1}{\sqrt{N}}$ ), интегрируем по кругу радиуса  $\sqrt{N}$ :

$$y = \frac{x}{\sqrt{N}}, \quad z = \frac{\sqrt{N}}{w}$$

$$\begin{aligned} \ln\left(1 + \frac{y}{z} - \frac{x_j}{z}\right) &= \frac{y}{z} - \frac{x_j}{z} - \frac{1}{2} \left(\frac{x_j}{z}\right)^2 + \dots \\ &= \frac{1}{N} wx - \frac{1}{\sqrt{N}} x_j w - \frac{1}{2N} (x_j^2 w^2) + O(N^{-3/2}). \end{aligned}$$

## Поведение внизу: «аналитический» подход-2

$$\begin{aligned}\sum_j \ln\left(1 + \frac{y}{z} - \frac{x_j}{z}\right) &= \sum_j \frac{1}{N} wx - \frac{1}{\sqrt{N}} x_j w - \frac{1}{2N} (x_j^2 w^2) + O(N^{-3/2}) \\ &= wx - 0 - \frac{1}{2} w^2 + O(N^{-1/2}), \quad \text{as } \sigma^2 = 1.\end{aligned}$$

Под интегралом:

$$\oint_0 \prod_{j=1}^N \left(1 + \frac{y}{z} - \frac{x_j}{z}\right) z^{k-1} dz = N^{k/2} \cdot \oint_0 \exp\left(wx - \frac{1}{2} w^2\right) \frac{1}{w^{k-1}} dw$$

$N^{k/2}$  сокращается с биномиальным коэффициентом  $\binom{N}{k}$  и с  $N^{k/2}$  от замены координат  $y = \frac{x}{\sqrt{N}}$  (старший коэффициент должен быть 1). А  $\exp\left(wx - \frac{1}{2} w^2\right)$  — производящая функция для многочленов Эрмита!

И, возвращаясь к вероятностным вопросам...



## Описание для $\xi_i^k$

### Теорема (В. Горин, В.К.)

При достаточно разумных предположениях на фиксированном уровне  $k$ : процесс в пределе такой же, как для случая  $P_k = H_k$  ([GK, Theorem 2.12])

### Теорема (В. Горин, В.К.)

Если  $P_k$  — многочлены Эрмита  $H_k$ :

- 1 В балке: *work in progress (GFF)*
- 2 На границе: *Airy $_{\infty}$  line ensemble* ([GK, Theorem 1.1]).

## Предел на краю: $\text{Airy}_\infty$ line ensemble

Пусть  $k(t) = N + [N^{2/3}t]$ .

Теорема (В. Горин, В.К.; ([ГК, Theorem 1.1]))

$$\lim_{N \rightarrow \infty} N^{1/6} \xi_{k(t)+1-i}^{k(t)} = \mathfrak{Z}(i, t), \quad i \in \mathbb{N}, \quad t \in \mathbb{R},$$

где  $\mathfrak{Z}(i, t)$  — гауссов процесс с нулевым матожиданием и ковариациями

$$\mathbb{E} \mathfrak{Z}(i, t) \mathfrak{Z}(j, s) = \frac{2}{\text{Ai}'(\mathfrak{a}_i) \text{Ai}'(\mathfrak{a}_j)} \int_0^\infty \text{Ai}(\mathfrak{a}_i + y) \text{Ai}(\mathfrak{a}_j + y) \exp(-|t - s|y) \frac{dy}{y}$$

Этот процесс можно представить как «усреднение броуновских шумов по вспомогательному процессу».

## Варьируя матрицы...

Удивительным образом, ответ совпадает с ответом для поведения на границе Дайсоновского броуновского движения!

Вместо изменения размера матрицы («процесс уголков») можно заставить меняться элементы матрицы фиксированного размера  $N \times N$ :

$$M(t) = \frac{A(t) + A^*(t)}{2}, \quad A(t) = (a_{ij}(t)),$$

где  $a_{ij}(t)$  —  $\beta$ -мерное броуновское движение. Дифференциальное уравнение для собственных значений  $X_i(t)$  можно написать и при любом  $\beta$ :

$$dX_i(t) = \sum_{j \neq i} \frac{dt}{X_i(t) - X_j(t)} + \sqrt{\frac{2}{\beta}} dW_i(t), \quad i = 1, 2, \dots, N.$$

## Airy<sub>∞</sub> line ensemble-2

Рассмотрим временной интервал порядка  $N^{-1/3}$ : положим

$$\tau(t) = 1 + 2tN^{-1/3}.$$

Теорема (В. Горин, В.К.; ([ГК, Theorem 1.2]))

$$\lim_{N \rightarrow \infty} \lim_{\beta \rightarrow \infty} N^{1/6} \sqrt{\beta} \left( X_{N+1-i}(t) - \left( \tau(t) \frac{\beta}{2} \right)^{1/2} x_{N+1-i}^N \right) = \mathfrak{Z}(i, t),$$

$i \in \mathbb{Z}_{>0}, t \in \mathbb{R}.$

Здесь  $\mathfrak{Z}(i, t)$  — тот же процесс!

## Начинаем разбираться

Напомним, как ведут себя собственные значения  $\mu_j$  уголка размера  $k - 1$  при условии известных собственных значений  $\lambda_i$  уголка размера  $k$ :

- 1 Собственные значения  $\mu_j$  асимптотически (при  $\beta \rightarrow \infty$ ) независимы **при условии** известных  $\lambda_i$ .
- 2 Они концентрируются в точках минимума  $\sum_i \log |\lambda_i - x|$ , т.е. в корнях производной характеристического многочлена  $P_\lambda(x)$ .
- 3 Они асимптотически гауссовские с колебаниями  $\sim \frac{1}{\sqrt{\beta}}$

Предельный процесс  $\xi_i^k$  — **гауссовский** и **марковский** (где размер  $k$  уголка играет роль времени). Будем считать, что  $k$  «движется в сторону уменьшения».

# Инновации

Гауссовский марковский процесс  $\xi_i^k$  на каждом шаге можно разбить в сумму его «предсказанного среднего» (условного математического ожидания при условии предыдущего шага) и «инновации»:

$$\xi_i^{k-1} = \mathbb{E}(\xi_i^{k-1} | \xi_j^k) + \eta_i^{k-1},$$

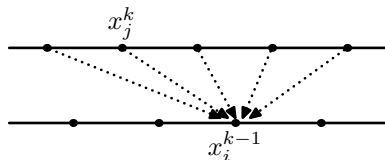
где (вектор)  $\eta_i^{k-1}$  независим от (вектора)  $\xi_j^k$ .

Процесс гауссовский  $\Rightarrow$  условное математическое ожидание это линейная комбинация:

$$\mathbb{E}(\xi_i^{k-1} | \xi_j^k) = \sum_j c_{ij}^k \xi_j^k.$$

А что можно сказать про константы  $c_{ij}^k$ ?

## «Прыгающий» процесс



Константы  $c_{ij}^k$ : производные корня  $x_i^{k-1}$  производной  $P'_k(x)$  по корням  $x_j^k$  самого многочлена.

- 1  $c_{ij}^k > 0$
- 2  $\sum_j c_{ij}^k = 1$
- 3  $c_{ij}^k \sim \frac{1}{(x_j^k - x_i^{k-1})^2}$ .

Их можно рассматривать как переходные вероятности процесса, «прыгающего» снизу вверх.

Ответы можно писать в терминах этого процесса!

### Определение

Пусть  $K^{k,l}(a, b)$  — переходное ядро этого процесса: вероятность «допрыгать» из корня  $x_a^k$  на уровне  $k$  в корень  $x_b^l$  на уровне  $l \geq k$ .

# Представление $\xi_i^k$

## Теорема (В. Горин, В.К.)

Процесс  $\{\xi_i^k\}_{1 \leq i \leq k \leq N}$  можно представить как

$$\xi_a^k = \sum_{\ell=k}^{N-1} \sum_{b=1}^{\ell} K^{k,\ell}(a \rightarrow b) \cdot \eta_b^{\ell},$$

где  $\eta_b^{\ell}$  независимые гауссовские с дисперсией

$$\text{Var } \eta_b^{\ell} = \frac{2}{\sum_{b=1}^{k+1} (x_b^{\ell} - x_c^{\ell+1})^{-2}} = -2 \frac{P_{\ell+1}(x_b^{\ell})}{P''_{\ell+1}(x_b^{\ell})}.$$

Кроме того,

$$\text{cov}(\xi_{a_1}^{k_1}, \xi_{a_2}^{k_2}) = \sum_{\ell=\max(k_1, k_2)}^{N-1} \left( \sum_{b=1}^{\ell} K^{k_1, \ell}(a_1 \rightarrow b) K^{k_2, \ell}(a_2 \rightarrow b) \cdot \text{Var } \eta_b^{\ell} \right).$$



# Описание процесса

Будем рассматривать только случай «бесконечных матриц» (тогда  $P_k = H_k$  — многочлены Эрмита).

Тогда  $\text{Var } \eta_b^k = \frac{2}{k+1}$ .

Процесс «прыгает» снизу вверх, «собирая»  $\eta_b^k$  по пути; а как устроено его распределение на каком-нибудь уровне?

Начнём с самой нижней точки.

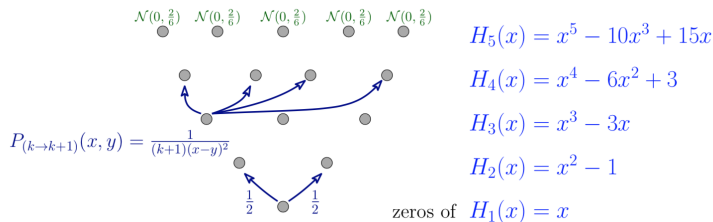
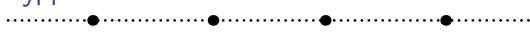

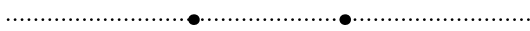



Image: V. Gorin

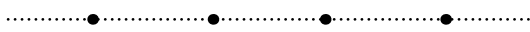
# Чудеса начинаются!



$$H_4(x) = x^4 - 6x^2 + 3$$

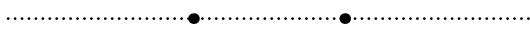

$$H_3(x) = x^3 - 3x$$



$$H_2(x) = x^2 - 1$$


$$H_1(x) = x$$



$$H_4(x) = x^4 - 6x^2 + 3$$


$$H_3(x) = x^3 - 3x$$


$$H_2(x) = x^2 - 1$$


$$H_1(x) = x$$


$$H_4(x) = x^4 - 6x^2 + 3$$


$$H_3(x) = x^3 - 3x$$

... и продолжаются

### Определение

$$D_k[f](y) = \frac{1}{k+1} \sum_{j=1}^k \frac{1}{(y-x_j^k)^2} \cdot f(x_j^k), \quad H_{k+1}(y) = 0$$

### Теорема (В. Горин, В.К.)

*Оператор диффузии  $D_k$  переводит многочлен степени не выше  $m$  в многочлен степени не выше  $m$ ,*

$$D_k[x^m] = \left(1 - \frac{m+1}{k+1}\right)x^m + \dots$$

## Эскиз доказательства

Доказательство.

Посмотрим на  $D_k[x^m]$ :

$$\sum_j \frac{(x_j^k)^m}{(y - x_j^k)^2} = \sum_j \frac{(x_j^k)^m - y^m}{(y - x_j^k)^2} + \sum_j \frac{y^m}{(y - x_j^k)^2}$$

В первом слагаемом одна степень  $(y - x_j^k)$  сократится, второе уже вида  $\text{const} \cdot y^m +$  ещё чуть-чуть таких же выкладок.

Альтернатива: комплексный анализ. □

... и продолжаются

### Определение

Многочлены  $Q_m^{(k)} = x^m + \dots$  — ортогональные многочлены по равномерной мере на корнях  $H_k$ .

### Теорема (В. Горин, В.К.)

$$D_k[Q_m^{(k)}] = \left(1 - \frac{m+1}{k+1}\right) Q_m^{(k+1)}.$$

### Доказательство.

### Лемма

*Сопряжённый оператор  $D_k^*$  тоже сохраняет пространство многочленов степени не выше  $m$  при всех  $m$ .*

Образ  $D_k[Q_m^{(k)}]$  это многочлен степени  $m$ , ортогональный всем многочленам степени меньше  $m$ . □

# Применение чудес в народном хозяйстве

## Следствие

*Можно искать  $K^{k,l}(a, b)$ : перейти в ортогональный базис  $\{Q_m^{(k)}\}$ , в нём операторы диффузии просто диагональны, а потом вернуться обратно.*

А ковариации  $\zeta_i^k$  можно искать и не возвращаясь обратно: в правой части стоит скалярное произведение ядер диффузии.

Спасибо за внимание!

